

宮大 正 杉尾 哲
宇○甲斐正雄

1. はじめに

近年、沖縄県では夏場の水資源確保の観点から地下水を貯留しておこなうための地下ダムが盛んに計画され、建設されるようになつた。同県具志頭村に建設予定の港川地下ダムは、図1-1に示すように、不透水性基盤面まで完全に遮水できず、ダムの下側に開口部を設ける計画である。この場合、海岸線に近いため、潮汐や地下水の揚水による淡水一塩水境界面の上昇(又は下降)、それに伴う地下水の塩化が生じてくる。

本報では 1stepとして、地下ダムを設定しがい状態での、地下水流动について三次元の解析をおこなつた。

2. 基礎式

図1-1は、海岸線付近の淡水(h_f)と塩水(h_s)の境界面ならびにその境界状況を示した概念図である。 $Z=0.5\text{ m}$ より上を σ_1 層(淡水のみの領域)としてそれ以下をいくつかの層に分ける。 σ_2 層以下は各層の標高と淡水境界面との差で淡水領域、淡水+塩水領域、塩水領域として、それれにつれて基礎方程式を立て各層内に鉛直方向に積分した形に整理すると(1)~(5)の式になる。ここに、 n_e , n_s は有効間隙率、 K は透水係数、 D は各層の厚さ、 r は全水頭(比エジ水頭)、 Z は $Z=0$ より計った各層の標高、 η は地表面からのかん養量である。

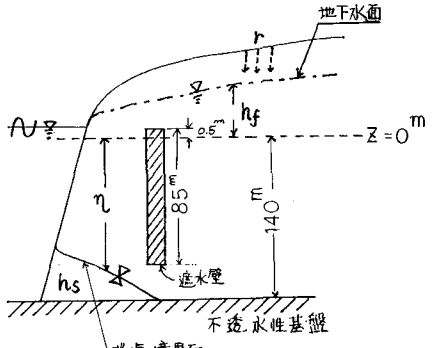


図1-1 略図

σ_1 層(淡水のみ)

$$n_e \frac{\partial h_f}{\partial t} = \frac{\partial}{\partial x} [K(h_f - z) \frac{\partial h_f}{\partial x}] + \frac{\partial}{\partial y} [K(h_f - z) \frac{\partial h_f}{\partial y}] - K \frac{\partial h_f}{\partial z} + r \quad (1)$$

σ_2 層以下

(淡水領域)

$$\frac{\partial}{\partial x} [KD_i \frac{\partial h_i}{\partial x}] + \frac{\partial}{\partial y} [KD_i \frac{\partial h_i}{\partial y}] + \frac{\partial}{\partial z} [K \frac{\partial h_i}{\partial z}] D_i = 0 \quad (2)$$

(淡水+塩水領域)

$$n_e \frac{\partial \eta}{\partial t} = \frac{\partial}{\partial x} [K(\eta - z_{i-1}) \frac{\partial h_i}{\partial x}] + \frac{\partial}{\partial y} [K(\eta - z_{i-1}) \frac{\partial h_i}{\partial y}] - K \frac{\partial h_i}{\partial z} \quad (3)$$

$$-n_s \frac{\partial \eta}{\partial t} = \frac{\partial}{\partial x} [K(z_i - \eta) \frac{\partial h_s}{\partial x}] + \frac{\partial}{\partial y} [K(z_i - \eta) \frac{\partial h_s}{\partial y}] + K \frac{\partial h_s}{\partial z} \quad (4)$$

(塩水領域)

$$\frac{\partial}{\partial x} [KD_i \frac{\partial h_s}{\partial x}] + \frac{\partial}{\partial y} [KD_i \frac{\partial h_s}{\partial y}] + \frac{\partial}{\partial z} [K \frac{\partial h_s}{\partial z}] D_i = 0 \quad (5)$$

3. 数値解析法

数値解析は、陽解法の差分法による。この場合、例えば、 $\Delta x = \Delta y = 200\text{ m}$, $K = 0.2\text{ cm/s}$, $n_e = n_s = 0.1$ として、塩水層を3~5層程度に分けると、収束安定条件より $\Delta t = 0.1\text{~}0.4\text{ hr}$ 程度の微小な値になる。本解析では3~5ヶ月の長期間の計算を行う予定であるのでこのままで計算時間がかかりすぎることになる。そこで $\Delta t = 24\text{ hr} = 1\text{ day}$ 程度で計算する近似解法を考えることにした。ただ単純に従来の解法で $\Delta t = 1\text{ day}$ の大きな値を用いると計算は発散してしまうので種々検討を行い、図3-1の様なフローチャートに従って次の様な計算をした。すなわち、式(3)=式(4)において σ_2 層以下の地下水頭の計算から非定常計算を排除し、繰返し計算によって、七十此の水頭の計算をする。その後に σ_1 層の計算を次式により行う。すなわち、 Δt 方向の空間差分を $\tau = \Delta t$ 此の値を用いるものである。 σ_1 層の淡水位を h_{f1} 、 σ_2 層の淡水頭を h_{f2} で表わすと式(1)は次の様に書ける。

$$n_e \frac{h_{f1}^{t+\Delta t} - h_{f1}^t}{\Delta t} = \frac{[]}{\Delta x} + \frac{[]}{\Delta y} + r - K \frac{h_{f1}^{t+\Delta t} - h_{f2}^t}{\Delta z} \quad (6)$$

しかし、 Δt を大きくしたことににより計算誤差が生じると考えられるので補正係数 α を $\alpha_1 \sim \alpha_3$ 項に乗じている。

$$\left(\frac{\eta_e}{\Delta t} + \frac{K}{\Delta Z}\right) h_{f1}^{t+\Delta t} = \left(\frac{[]}{\Delta X} + \frac{[]}{\Delta Y} + r\right) \cdot \alpha + \left(\frac{\eta_e}{\Delta t} h_{f1}^t + \frac{K}{\Delta Z} h_{f2}^{t+\Delta t}\right) \quad (17)$$

α の値は、本報の場合 $\alpha = 7.0$ とした。

4. 解析例

入力データとして日降雨量、月蒸発散量、日平均河川水位を用いた。日降雨量と蒸発散量をタンクモデルに与えて、地表面からのかん養量 r を算出した。尚、タンクモデル定数は同じサンゴ礁石灰岩の宮古島での水収支解析で求められた値を用いた。日平均河川水位は河川位置の α_1 層の淡水位に与えた。河川水位は、図4-2中のB点付近で計測されたものであるが、本報では河川水位の変動量は河口付近を除く河川全延長で同じ値になる様にしている。当地の地下水位観測は1983年3月以降に行われているが、同期間の河川水位が入手できないので、解析例は1980年の値を入力して求めた。 α_1 層の初期水頭は図4-1に示す様にモデル中央を正方向に縦断する河川水位+1.0mの値をY方向に同一に与えた。ただし、基盤標高の方が高い場合には基盤標高+1.0mとした。 α_2 、 α_3 層の初期水頭は α_1 層と同値にしている。図4-2は α_1 層の1年後の計算結果を示している。図4-3は地下水位観測が行われている図4-2中のA点の α_1 層の淡水頭とB点の α_1 層の淡水頭(実線)と α_2 層の淡水頭(点線)を示している。同図下には日降雨量を描いて、方が降雨に伴って地下水頭が変動している様子がうかがえる。尚、計算当初の急激な地下水位変化は初期条件に無理があったためと考えられる。実測値との直接比較はできずが、同程度の降雨量の場合の地下水位変動を比較するとほぼ似た値となりある程度妥当性のある地下水モデルが構築できたのではないかと考えている。今後、河川水位が入力できたらさらに検討してゆきたいと考えている。

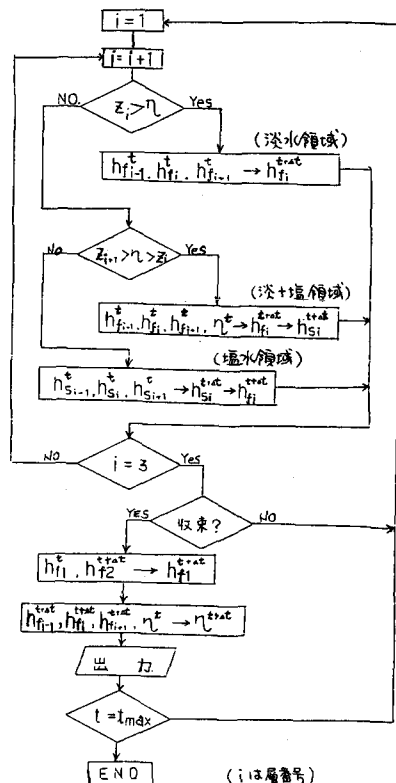


図3-1 フローチャート
(iは層番号)

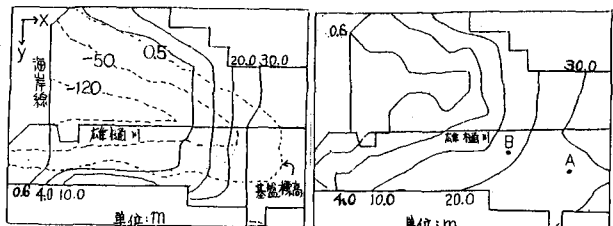


図4-1 $t=0$ day
地下水位等高線

図4-2 $t=366$ day
地下水位等高線

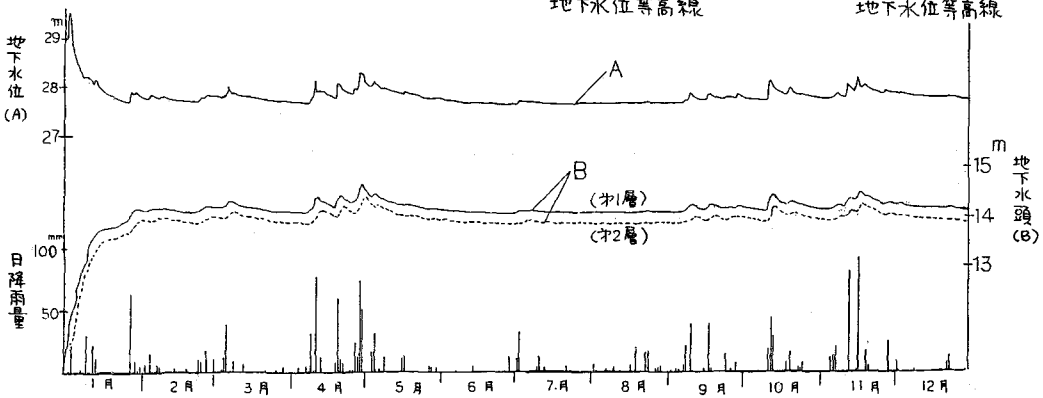


図4-3 地下水頭の変動